УДК 591.112+616.8-00986

ФИЗИОЛОГИЯ

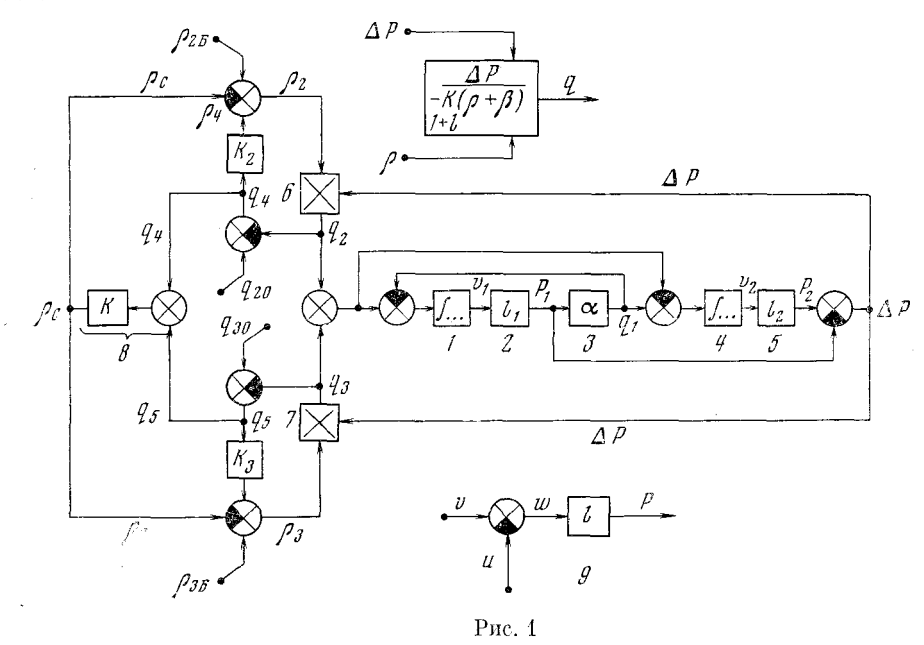
В. А. ЛИЩУК

ФОРМАЛИЗАЦИЯ ПРИНЦИПА ПЕРЕРАСПРЕДЕЛЕНИЯ КРОВОТОКА

(Представлено академиком В. Н. Черниговским 23 VI 1972)

Современные физиологические концепции представляют саморегуляцию кровотока в виде крайне сложного, полифункционального, многосвязанного адаптивного процесса. Чаще всего систему саморегуляции кровотока рассматривают как флуостат. Нередки, однако, и другие точки зрения, акцентирующие внимание на стабилизации давления (пресостат), минимизации затрат эпергии или метаболитов и др. (1-4).

В работе вводится формальное описание известного принципа перераспределения кровотока между работающими и покоящимися органами (4). В ранее развитых моделях сердечно-сосудистой системы этот принцип не нашел отражения. Полученные отношения можно рассматривать как фрагмент математической теории кровообращения (1, 5-9). В соответствии с этим все детали и свойства, не отражающие саму суть процесса, опущены. Включение специфики каждой конкретной задачи и согласование с иными формами регуляции не вызывает принципиальных трудностей (5, 6).



Основные отношення. На рис. 1 представлена схема, отражающая существо явления и не включающая ничего традиционно обязательного, если сам ход апализа не требует этого. Элементы 1 и 2 па правой части схемы отражают объем и эластические свойства венозного резервуара, элемент 3— насосную функцию сердца, а элементы 4 и 5— свойства артериального резервуара (5, 6). Периферическое сопротивление представлено

двумя параллельными участками 6 и 7. Каждый периферический участок регулирует перфузирующий его поток крови $(q_2$ или $q_3)$ в соответствии с потребностями $q_{\scriptscriptstyle 20}$ и $q_{\scriptscriptstyle 30}$. Величины $ho_{\scriptscriptstyle 36}$ и $ho_{\scriptscriptstyle 26}$ отражают базисные проводимости сосудов, ρ_3^{-1} и ρ_2^{-1} — суммарные сопротивления участков. Сигнал ошибки каждого из контуров, представленный висцероцепцией (10), поступает в «рефлекторный центр» 8, который, в свою очередь, оказывает копстрикторное влияние о., пропорциональное суммарной афферентной импульсации. Влияпие вазомоторного центра равнозначно, если не учитывать второстепенную специфику, для всех параллельных участков. Схема нескольких параллельных участков может быть выполнена аналогично. Если мы хотим учесть весь, а не только растягивающий объем крови w в резервуаре, достаточно усложнить соответствующий участок схемы так, как представлено на фрагменте 9 рис. 1.

Модель. Математическое описание системы удобно представить относительно напряженных объемов крови в венозном (v_1) и артериальном (v_2) резервуарах $(^5)$. Переменные, обычно интересующие физиолога: артериальное (p_2) и венозное (p_4) давления, сердечный выброс (q_4) , венозный возврат (q_2+q_3) , энергия сокращения сердца и затраты мощности на транспорт крови, без труда вычисляются из известных величин v_1 и v_2 . Используя схему, запишем два интересующих нас уравнения

$$v_1 = v_1(0) + \int \{(\rho_2 + \rho_3) [e_2 v_2(t) - e_1 v_1(t)] - \alpha e_1 v_1(t)\} d\tau, \tag{1}$$

$$v_2 = v_2(0) + \int \{\alpha e_1 v_1(t) - (\rho_2 + \rho_3) [e_2 v_2(t) - e_1 v_1(t)] \} d\tau, \tag{2}$$

 $v_2 = v_2(0) + \int \{\alpha e_1 v_1(t) - (\rho_2 + \rho_3) [e_2 v_2(t) - e_1 v_1(t)]\} d\tau$, (2) где e_1 и e_2 — жесткости, соответственно, венозного и артериального резервуаров, $v_1(0)$ и $v_2(0)$ — объемы в начальный (t=0) момент времени, α обобщенный насосный (Старлинга) коэффициент сердца. Из алгебраической (левой) части схемы получим значение проводимостей

$$\rho_2 = \rho_{25} + k_2 [q_{20} - q_2(t)] - k [q_{20} + q_{30} - q_2(t) - q_3(t)], \tag{3}$$

$$\rho_3 = \rho_{30} + k_3 [q_{30} - q_3(t)] - k[q_{30} + q_{20} - q_2(t) - q_3(t)]. \tag{4}$$

Эти последние выражения содержат переменные минутных объемов крови $(q_2 \text{ и } q_3)$, которые определяются следующим образом (рис. 1):

$$q_2(t) = \rho_2[e_2v_2(t) - e_1v_1(t)], \qquad (5)$$

$$q_3(t) = \rho_3[e_2v_2(t) - e_1v_1(t)]. \tag{6}$$

Значения пачальных условий $v_1(0)$ и $v_2(0)$ определяют объем (v) крови в системе $v_1(0) + v_2(0) = v = v_1(t) + v_2(t)$.

Дифференцируя (1) и (2), приравнивая производные к пулю, учитывая, что $v = v_1 + v_2$, найдем из (5) и (6) минутный объем крови через постоянные параметры, определяющие совместно с (3) и (4) свойства статики системы перераспределения кровотока

$$q_2 = \frac{\alpha_{02}e_1e_2v}{\alpha e_1 + (\rho_2 + \rho_3)(e_1 + e_2)}, \tag{7}$$

$$q_3 = \frac{\alpha \rho_3 e_1 e_2 v}{\alpha e_1 + (\rho_2 + \rho_3) (e_1 + e_2)}, \tag{8}$$

$$q_{2} = \frac{\alpha \rho_{2} e_{1} e_{2} v}{\alpha e_{1} + (\rho_{2} + \rho_{3}) (e_{1} + e_{2})}, \qquad (7)$$

$$q_{3} = \frac{\alpha \rho_{3} e_{1} e_{2} v}{\alpha e_{1} + (\rho_{2} + \rho_{3}) (e_{1} + e_{2})}, \qquad (8)$$

$$q = q_{2} + q_{3} = \frac{\alpha e_{1} e_{2} v (\rho_{2} + \rho_{3})}{\alpha e_{1} + (\rho_{2} + \rho_{3}) (e_{1} + e_{2})}. \qquad (9)$$

Принимая $\alpha = \beta^{-1}$, $e_1 = c_1^{-1}$, $e_2 = c_2^{-1}$, $\rho_2 + \rho_3 = \rho = r^{-1}$, получим из (9) основную формулу работы (5).

Логика работы системы, стабилизация ($q_{20} = \text{const}$, $q_{30}={
m const}$). Пусть произвольная причина изменила величину базального тонуса одного из участков. Это может быть, например, озб. Если не учитывать центральные и межконтурные влияния ($ho_c = {
m const}, \; \Delta p = {
m const}), \;\; {
m to}$ изменение ho_{36} вызовет ошибку $ho=q_5=q_{30}-q_3$, которая, усиленная в k_3 раза, воздействует на оз так, чтобы уменьшить возмущение, вызванное изменением озб., однако статическая ошибка будет иметь место.

Теперь проследим, как отражается стабилизация одного из коптуров на работе другого. Взаимовлияние контуров возможно посредством гемодинамических связей и через систему рефлекторной регуляции. В гемодинамической цепи статическая ошибка вызывает некоторое изменение ρ_3 и, соответственно, перераспределение крови между венозным и артериальным резервуарами (v_1/v_2) . Отсюда следует изменение артериального и венозного давлений. Например, пусть изменение базального тонуса привело к увеличению q_3 , тогда, вследствие того что $e_2 > e_1$, Δp уменьшится, что, в свою очередь, поведет к некоторому вторичному снижению q_3 , т. е. самовыравниванию системы. Уменьшение Δp , кроме того, повлечет за собой спижение q_2 , что опять-таки вызовет вторичное перераспределение объемов и, соответственно, усилит самовыравнивание. Таким образом, гемодинамическая взаимосвязь контуров регулирования не нарушает статическую устойчивость и стабилизирующую функцию каждого из контуров.

Рассмотрим далее, как будут взаимодействовать местные контуры регулирования через рефлекторный центр. Как и прежде, система работает против возмущений (режим стабилизации, $q_{30}={\rm const}$, $q_{20}={\rm const}$). Пусть вновь изменилась ρ_{36} . Тогда q_5 изменится в противоположном направлении, соответственно изменится составляющая центрального влияния ρ_c , причем таким образом, что центральная регуляция будет «мешать» стабилизации «на местах». Влияние ц.н.с. не вызывает вредных последствий (парушений местной регуляции), если $k < k_3$. Изменение центральной стимуляции скажется также на соседних певозмущенных участках, что обеспечит (и это наиболее важно) за счет небольших изменений периферического кровотока слабонагруженных участков стабилизацию артериального давления, общего кровотока и периферического кровообращения, причем эта задача будет решена независимо от того, справляется с возмущением некоторый местный контур саморегуляции или нет.

Слежение. Первоначально рассмотрим изменение потребности в кровотоке одного из органов при искусственном исключении взаимодействия между параллельными контурами $\Delta p = \mathrm{const}$, $\rho_c = \mathrm{const}$. Пусть q_{30} возросло; тогда, если $q_4 = \mathrm{const}$,

$$q_3 = \frac{\Delta p \left[(k_3 - k) q_{30} - kq_4 + \rho_{3\bar{0}} \right]}{1 + \Delta p (k_3 - k)}$$
,

при $k_3 - k > 0$ можно надеяться па соответствующее изменение q_3 . При удачно подобранных нараметрах k, k_3 и Δp контур будет обеспечивать требуемый кровоток. Нетрудно видеть, что условие $\Delta p = \text{const} - \text{искусствен-}$ ное и что без принятия специальных мер артериальное давление будет падать, а венозное — расти (5).

Теперь восстановим взаимосвязи между параллельными участками. Изменение q_{30} вызовет однонаправленное изменение ρ_c и противоположное ρ_2 . Отсюда кровоток второго участка изменится в направлении, противоположном изменению кровотока первого участка. Это обеспечит компенсацию, благодаря которой Δp не изменится или изменится несущественно. Если участков два, то режим работы компенсирующего участка нарушится весьма сильно. Если же параллельных участков несколько (достаточно много), то изменение кровотока в каждом из них будет незначительным. Например, пусть имеется n участков с проводимостью ρ_i , которые собраны в два общих узла, и $\rho_\sigma = \rho_1 + \rho_2 + \dots \rho_i + \dots \rho_n$. Предположим, что проводимость i-го участка изменилась на величину $\pm \delta_i$, тогда $\rho_\sigma = \rho_1 \mp \delta_1 + \rho_2 \mp \delta_2 + \dots + \rho_i \mp \delta_j + \dots + \rho_i \pm \delta_i + \dots + \rho_n \mp \delta_n$, где δ_i — вынужденное изменение i-го участка, а δ_j — компенсирующие изменения остальных параллельных проводимостей; отсюда

$$\delta_{i} = \rho_{\sigma} - \sum_{j=1}^{i-1} (\rho_{j} \mp \delta_{j}) - \sum_{j=i+1}^{n} (\rho_{j} \mp \delta_{j}) - \rho_{i},$$
если $\rho_{j} = \rho$ и $\delta_{j} = \varepsilon (\delta_{i} \neq \varepsilon)$. Тогда
$$\delta_{i} = \rho_{\sigma} - (n-1)\rho - (n-1)\varepsilon - p_{i} = \rho_{\sigma} - n\rho - (n-1)\varepsilon,$$

$$\varepsilon = -\delta_{i}(n-1)^{-1}.$$

Таким образом, при равноправии участков влияние на каждый компенсирующий участок будет противоположным и в n-1 раз более слабым, чем рабочий эффект. Для системы с двумя параллельными участками ошибка $\varepsilon = -\delta_i$, для n=3 $\varepsilon = -1/\delta_i$ и т. д.

Свойства системы. С периферических участков в центр поступает сигиал, пропорциональный ощибке регулирования (q_4, q_5) . В номинальных режимах, замыкаясь через центр, ошибка дает начало рефлекторной дуге. играя роль положительной обратной связи, частично парирующей «эгоистические» запросы с мест, что очевидно, если положить $\Delta p = {
m const.} \ q_4 =$ =0, $\rho_{36}=0$, $k_3=0$; тогда $q_3=\Delta pk(1-\Delta pk)^{-1}$. Если же орган нагружен, то обратиая связь «размыкается» — орган ускользает от центрального влияпия. При этом активность импульсации возрастает, по эффект ее проявляется главным образом на ненагруженных участках. Последние выступают здесь как компенсирующие элементы. Таким образом, в покое решающее зпачение для регуляции системы имеет ошибка регулирования; нагрузка сопровождатся комбинированными реакциями. Другими словами, взаимодействие местного (k_3q_5) и центрального (ρ_c) управления приводит к тому, что функция некоторой локальной подсистемы (например, q_3) следит за собственными местными потребностями (q_{30}) , задания же соседних участков (q_{20}) оказывают отрицательный эффект. Очевидно, что для выполнения этого положения должны быть соответственно подобраны коэффициенты модели.

Рассматриваемая система является многомерной, с взаимосвязанными автономно-самостоятельными подсистемами. Отношения между подсистемами,— конкурентные. Решение конфликта обеспечивается цептральным управлением таким образом, чтобы удовлетворить потребности органов и тканей, песущих в данный момент нагрузку (q_{30}) , без существенного ущерба для организма в целом $(p_2 = \text{const})$. Естественно, что конкретные условия и специфические режимы могут обладать весьма существенными индивидуальными особенностями.

Пример численной оценки. Используя следующие приближенные оценки парамстров системы (5): $v=1100~{\rm cm}^3,~e_1=0.01~{\rm тор\cdot cm}^3,$ $e_2=0.5~{\rm тор\cdot cm}^{-3},~\alpha=10~{\rm cm}^3\cdot {\rm тоp}^{-1}\cdot {\rm cek}^{-1},~q_{30}=45~{\rm cm}^3\cdot {\rm cek}^{-1},~\rho_{36}=\rho_{26}=0.5~{\rm cm}^3\cdot {\rm тоp}^{-1}\cdot {\rm cek}^{-1},~k_3=k_2=2~{\rm top}^{-1},~k=1~{\rm top}^{-1},~{\rm найдем}$ зависимость решений уравнений (7), (8), (3) и (4) от задающей величины q_{20} в статике $q_2\approx0.5~q_{20}+22.5,~{\rm a}~q_3\approx-0.5~q_{20}+67.75.$ Как показывает эта оценка, предложенная схема обеспечивает в принципе компенсаторное перераспределение кровотока и может быть принята за основу при построении более детальных молелей.

В организме — миллиарды самостоятельных функциональных единиц, в связи с чем роль принципов, аналогичных рассмотренному здесь, должна быть весьма велика. Их общую суть можно определить как тендепцию к «минимизации» необходимой для управления информации и ограничению самих средств управления.

Центральный институт усовершенствования врачей Москва

Поступило 22 VI 1972

ПИТИРОВАННАЯ ЛИТЕРАТУРА

⁴ Н. М. Амосов, В. А. Лищук и др., Сборн. Проблемы биологической киберпетики, «Наука», 1971. ² М. А. Хапин, И. Б. Бухаров, Сборп. Проблемы биологической кибернетики, «Наука», 1971. ³ В. А. Левтов, Химическая регуляция местного кровообращения, Л., 1967. ⁴ В. М. Хаютип, Сосудодвигательные рефлексы, М., 1964. ⁵ В. А. Лищук, Общие свойства сердечно-сосудистой системы. Преприпт, Киев, 1971. ⁶ В. А. Лищук, ДАН, 207, № 6 (1972). ⁷ Y. J. Defares, J. J. Osborn, Пігоshі Н. Нага, Acta Physiol. and Pharmacol. Neerl., № 12 (1963). ⁸ В. W. Нуd man, A Digital Simulation of the Human Cardiovascular System, Information, 10, № 1, February, 1972. ⁹ Н. М. Амосов, В. А. Лищук, В. А. Щидловский, Математическое моделирование сердца. Докл. XI Съезда Всесоюзн. физиологич. общ., 1, «Наука», 1970. ¹⁰ В. П. Черпиговский, Интероцепторы, М., 1960.